

1.8V-구동 Bipolar Integrated Optical Link 수신기

장지근*

*단국대학교 전자컴퓨터학부

초록

1.8V 구동전압에서 10Mbps 이상의 높은 데이터 전송율을 갖는 새로운 광선로 수신기를 제작하였다. 10Mbps 입력신호 (duty ratio=50%, VIL(저준위 입력전압) = 0.5V, VIH(고준위 입력전압) = 1.5V)에 대한 제작된 소자의 평균 출력 전압은 VOL(저준위 출력전압) = 0V, VOH(고준위 출력전압) = 1.15V로 나타났으며, 1.5V 고준위 입력전압 아래에서 평균 소비전류는 4.6mA로 나타났다.

1. 서 론

최근 정보통신기술이 발전함에 따라 근거리 통신망에서 디지털 시스템 사이를 광학적으로 상호 연결하는 optical link의 사용이 증가되고 있다. Optical link는 electrical wire에 비해 가볍고 EMI에 대한 내성이 우수하며 전송 대역폭이 넓어, 높은 신뢰성을 갖고 많은 정보를 고속으로 전송할 수 있다.¹⁻³⁾ Optical link는 기본적으로 송신부(transmitter), 수신부(receiver) 그리고 광선로(optical fiber)로 구성된다. 근거리 디지털 오디오 시스템에 사용되는 optical link는 취급의 편의성과 경제성 제고를 위해 광선로로 APP(all plastic fiber: core/clad diameter= 970 /1000 μ m)를 사용하며, 광원으로는 적색파장(λ =650~670nm)의 LED를 사용한다. Optical link 수신기는 입력 광신호를 받아들이는 포토다이오드와 포토다이오드의 광전류를 전기적 출력신호로 변환하는 신호처리 회로로 구성된다. 송신되는 빛의 스펙트럼 분포는 Si 포토다이오드(spectral response range:450~1000nm)의 사용을 가능케함으로 optical link 수신기 제작에서 Si 포토다이오드와 신호처리 회로는 일반적으로 모듈리식 기관상에 one chip으로 집적된다.

모듈리식 집적된 광 수신기(RX-IC)는 고속 동작, 저잡음 특성, compactness, packaging 용이성, 제작비용 절감 등에 있어 많은 장점을 갖는다.⁴⁻⁵⁾ 본 연구에서는 디지털 오디오용 optical link에서 web-pattern Si 포토다이오드와 저전압 구동회로를 모듈리식 집적한 새로운 바이폴라 집적형 광연결 수신기를 개발하였다. 저전압구동 소자는 저전력 소비의 이점을 갖는다.

2. 실험 방법

Fig.1은 본 연구에서 설계된 1.8V 구동 바이폴라 집적형 광연결 수신기의 블록 다이어그램이다.

Fig.1의 RX-IC에는 입력광을 수신하는 포토 다이오드와 어두운 상태에서 포토다이오드와 동일한 암전류 특성을 갖는 dummy 다이오드가 바이어스 회로 및 신호처리 회로와 함께 집적되어있다. Dummy 다이오드는 무신호시 포토다이오드의 동상신호를 제거하기 위해 사용된다. 바이어스 회로는 신호처리 회로에 필요한 일정한 전류를 제공한다.

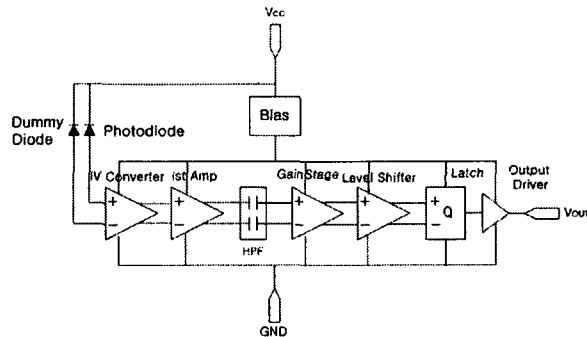


Fig. 1. Block diagram of the designed RX-IC.

포토다이오드의 광전류를 전기적 출력신호로 변화하는 신호처리 회로는 I-V 변환기, 증폭기, level shifter, latch 및 출력 구동부의 종속 연결로 구성된다. 포토다이오드가 디지털 광신호에 대해 높은 감도와 빠른 신호응답을 나타내기 위해서는 낮은 암전류와 높은 광전류 그리고 낮은 접합 커패시턴스 특성을 가져야 한다. 이를 위해 광 생성된 캐리어를 원활히 수집할 수 있는 조건에서 가능한 이미터(접합면적/수광면적)의 비를 작게, 이미터 접합깊이를 얕게 실현하는 것이 바람직하다. 포토다이오드의 베이스는 가능한 저농도 도핑으로 두껍게 만들어져야 하나 집적되는 트랜지스터의 컬렉터 조건과 trade-off을 이루어야 한다.⁶⁻⁸⁾ 본 연구에서는 이러한 면을 고려하여 포토다이오드와 dummy 다이오드의 구조를 Fig.2와 같이 설계하였다. Fig.2에서 p+-shallow 이미터 영역을 그물망(web-pattern) 형태로 나타내어 수광면적에 대한 p-n 접합면적의 비를 줄이고 접합으로부터 공간전하영역을 표면까지 확장시켰다. 소자 구조에서 애노드(anode) 전극아래 p-deep 확산영역은 바이폴라 트랜지스터의 베이스 영역과 동시에 만들어진다. 격리(isolation) 영역은 다이오드와 트랜지스터간의 회로적 단락을 방지하며 n+-sink는 포토다이오드와 dummy 다이오드의 공통 캐소드(cathode) 전극을 형성한다. 포토다이오드의 optical window 직경은 500 μ m로 설계되었으며 포토다이오드와 dummy 다이오드의 이미터 접합면적은 동일한 크기로 만들어졌다. 바이어스 회로는 신호처리 회로에 필요한 전류를 공급하며, 스타트-업(start-up)과 Widlar 전류원(current source)으로 구성된다.⁹⁻¹⁰⁾ 스타트-업은 전원전압이 공급되었을 때 전류원의 동작 점을 잡아준다. 전류원은 전류미러(current mirror)과정을 거쳐 100 μ A의 전류를 출력단자에 공급한다. Vcc와 접지(ground) 사이의 커패시터는 PSRR(power supply rejection ratio) 특성을 개선하고 있다. I-V 변환기의 출력단 전압은 다이오드 전류와 피이드백 저항(Rf)의 합으로 나타난다. I-V 변환기의 출력전압은 첫단 증폭기를 통해 약 50배로 증폭되는데 이때 발생되는 오프셋(offset) 전압은 CHF와 RHF로 이루어지는 HPF(high pass filter)를 통해 제거된다. 첫단 증폭기의 출력단은 두번째 증폭기(gain stage)의 입력단에 접속된다. 두번째 증폭기는 바이어스 전류 공급단과 차동증폭기로 구성되는 비교기이며 입력전압과 출력전압의 관계가 hysteresis 곡선을 이룬다. 저전압 구동회로에서 비교기의 출력은 2VBE가 요구됨으로 두번째 증폭기의 출력은 level shifter로 입력된다. 입력신호의 주파수가 낮을 경우 첫단 증폭기에 있는 커패시터의 방전으로 인해 출력신호의 level이 일정하게 유지되지 않는다. 이에 따라 저주파 신호에서도 안정된 동작이 가능하도록 latch 회로를 삽입하였다. latch는 level shifter에서 넘어온 신호의 level을 다음 신호가 들어올 때까지 일정하게 유지시킨다. 출력 구동부는 latch 신호를 push-pull 방식으로 출력한다. 설계된 소자의 크기는 1.55mm×1.55mm로 나타나며 12장의 공정마스크가 제작된다. SBC(standard buried collector)기술¹¹⁾을 이용한 소자제작 과정에서는 p type [111] Si 에이퍼

($\rho=2\sim6 \Omega\text{-cm}$)를 기판으로 사용하였으며, n 에피택셜 층(epitaxial layer)의 비저항과 두께를 $1.25 \Omega\text{-cm}$ 와 $6\mu\text{m}$ 로, $\text{Si}_3\text{N}_4/\text{SiO}_2$ -이중 광반사 방지막(antireflection layer)을 두께를 $1500\text{\AA}/1800\text{\AA}$ 으로 형성하였다.

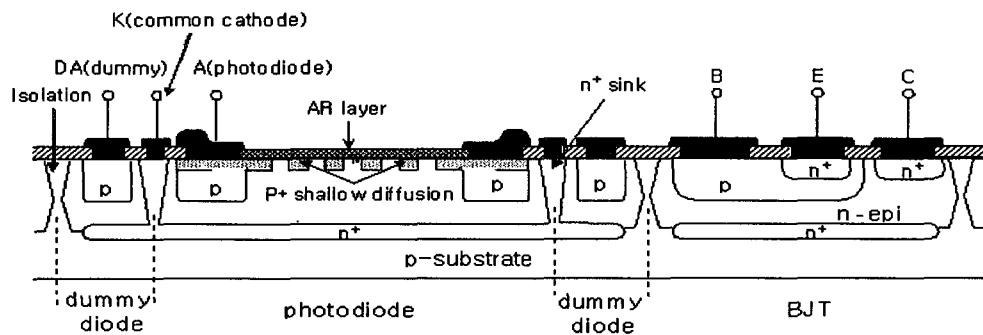


Fig. 2. Cross sectional view of integrated diodes.

3. 결과 및 고찰

Sharp-GP1F32T를 optical link의 송신기로 사용하여 $V_{cc}=1.8\text{V}$ 에서 제작된 소자의 전기광학적 특성을 조사하였다. 측정된 평균 소비전류(I_{cc})는 고준위 입력전압($V_{in}=1.5\text{V}$)에서 4.6mA 로 나타났다. Fig.3(a)는 무신호시 출력이며, Fig.3(b)와 Fig.3(c)는 각각 20bps와 10 Mbps의 입력신호에 대한 출력파형이다.

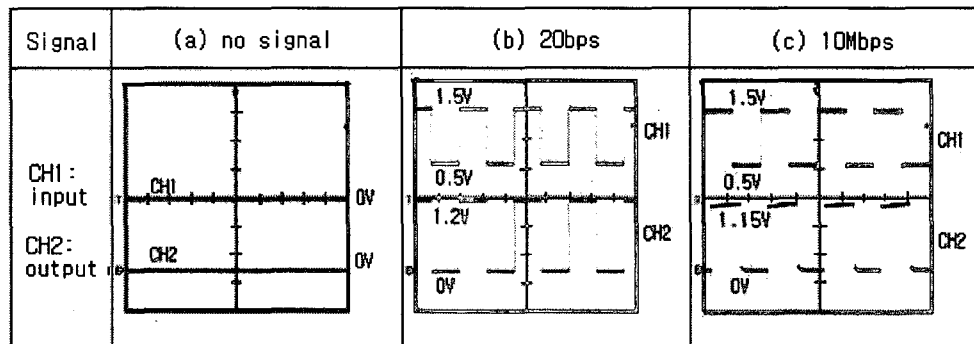


Fig. 3. Output responses according to the input of (a) no signal, (b) 20bps and (c) 10Mbps under $V_{cc} = 1.8\text{V}$.

Fig.3에서 제작된 소자는 무신호시 잡음을 갖지 않으며 초저주파 영역에서도 동작이 안정되어 있음을 볼 수 있다. 10Mbps 입력신호(duty ratio : 50%, $V_{IL}=0.5\text{V}$, $V_{IH}=1.5\text{V}$)에 대해 평균 출력파형을 측정한 결과, 고준위 출력전압(V_{OH})과 저준위 출력전압(V_{OL})이 1.15V 와 0V 로, duty ratio가 52.6%로, 상승시간(t_r)과 하강시간(t_f)이 9.5ns 와 6.8ns 로, 전파지연차($t_{PHL}-t_{PLH}$)와 jitter(t_j)가 11.7ns 와 4.3ns 로 각각 나타났다. 측정된 데이터는 디지털 오디오용 optical link 수신기의 일반 사양을 충분히 만족하고 있다.[3] Fig.4는 V_{cc} 를 1.65V 에서 3.0V 까지 변화시켰을 때 제작된 소자의 소비전류(I_{cc})와 출력파형의 전압(V_{OH}, V_{OL})을 측정한 그림이다. V_{cc} 가 1.65V 에

서 3.0V로 증가함에 따라 I_{CC} 는 4mA에서 8mA로 V_{OH} 는 1.03V에서 2.37V로 선형 증가하였으며, V_{OL} 은 변화없이 안정된 값을 유지하였다.

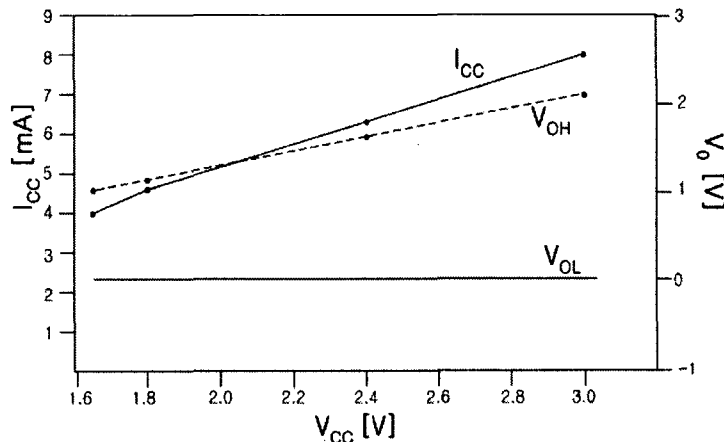


Fig. 4. Dissipation current and output voltages as a function of V_{cc} .

이는 본 연구에서 제작된 소자가 1.8V의 구동전압에서 뿐만 아니라 3V의 구동 전압에 이르기까지 사용 가능함을 보여주고 있다.

4. 결 론

포토다이오드와 dummy 다이오드를 저전압 구동회로와 모듈리식 집적시켜 $1.55\text{mm} \times 1.55\text{mm}$ 크기의 optical link 수신기(RX-IC)를 제작하였다. 제작된 소자는 1.8V 구동용으로 설계되었으며 소자제작에 이용된 포토다이오드는 그물망 형태의 이미터 구조를 갖는다. 그물망 형태의 이미터 구조는 수광면적에 대한 이미터 접합면적의 비를 감소시키고 베이스 전계영역을 표면까지 확장시켜 포토다이오드의 감도특성을 개선시킬 수 있다. Dummy 다이오드는 포토다이오드와 동일한 암전류 특성을 가지며 무신호시 포토다이오드의 동상신호를 제거한다. 신호처리 회로는 I-V 변환기, 증폭기, level shifter, latch 그리고 출력 구동부로 구성되며 바이어스 회로는 신호처리 회로에 필요한 일정한 전류를 공급한다. 회로 설계에 있어 중요한 관점으로는 VCC와 접지 사이에 커패시터를 연결하여 PSRR 특성을 개선하였으며 첫단 증폭기의 출력단에 HPF를 삽입하여 오프셋(offset) 전압을 제거하였다. 나아가, level shifter를 사용하여 저전압 구동에 필요한 2VBE의 출력전압을 얻었으며 latch를 삽입하여 초주파 영역에서도 동작이 이루어지도록 하였다. 제작된 소자는 무신호시 잡음을 갖지 않으며 입력신호의 주파수가 초저주파로부터 10Mbps에 이르기까지 duty ratio의 커다란 변화없이 빠른 신호응답 특성을 나타내었다. 제작된 소자는 저전압 동작으로 인한 저전력 소비와 구동전압의 범위가 넓다($1.65V \leq V_{CC} \leq 3.0V$)는 장점을 갖는다.

참고문헌

- [1] Toshiba, Fiber Optic Device ToslinkTM, Toshiba Corp., pp.31-35, (1994).
- [2] H. Zimmermann, T. Heide and A. Ghazi, "Monolithic High Speed CMOS-Photoreceiver", IEEE Photon. Technol. Lett., 11, pp.254-256, (1999).
- [3] G. K. Chang, Y. H. Kim, J. H. Lee, H. G. Kang and S. Y. Yi, "Design and Fabrication of a Si pin Photodetector with Peak Spectral Response in the Red Light for Optical Link", J. of the

한국반도체장비학회 2003년도 추계학술대회 논문집

- Microelec-tronics & Packaging Society, 8(1), pp.1-4, (2001).
- [4] M. Seto, M. Mabesoone, S. De Jager, A. Vermeulen, W. De Boer, M. Theunissen and H. Tuinhout, "Performance Dependence of Large Area Silicon p-i-n Photodetectors upon Epitaxial Thickness", Solid-State Electronics, 41(8), pp.1083-1087, (1997).
 - [5] Y. P. Tsividis, "Accurate Analysis of Temperature Effects in IC-VBE Characteristics with Application to Bandgap Reference Source", IEEE J. of Solid State Circuits, SC-15, pp.1076-1084, (1980).
 - [6] G. K. Chang, S. Y. Yi and C. K. Kim, "Sensitivity Improvement of the Web Patterned Si Photo-diode", Korean J. of Mat. Research, 11(4), pp.247-250, (2001).
 - [7] M. Yamamoto, M. Kubo and K. Nakao, "Si-OEIC with a Built-in PIN Photodiode", IEEE Trans. Electron Dev., 42(1), pp.58-63, (1995).
 - [8] W. Chen and S. Liu, "PIN Avalanche Photodetectors Model for Circuit Simulation", IEEE of Quan-tum Electronics, 32(2), pp.2105-2111, (1996).
 - [9] P. R. Gray, P. J. Hurst, S. H. Lewis, R. G. Meyer, Analysis and Design of Analog Integrated Cir-cuits, 4th Ed., John Wiley & Sons, Inc., pp.255-300, (2001).
 - [10] R. J. Widlar, "Some Circuit Design Techniques for Linear Integrated Circuits", IEEE Trans. on Circuit Theory, CT-12, pp.586-590, (1965).
 - [11] S. Wolf, Silicon Processing for the VLSI Era: Vol.2 Process Integration, Lattice Press, California, pp.13-14, (1990).
 - [12] H. J. Hovel, Semiconductors and Semimetals: Solar Cells, Academic Press, New York, pp. 203-207, (1975).